

剛性履帶式車両の接地圧分布

愛媛大学工学部 正会員 ○ 室 達朗
 愛媛大学大学院 学生会員 柳楽 篤司
 愛媛大学工学部 河野 幸一

1. まえがき 軟弱な海底粘性地盤上を駆動走行する水中ブルドーザなどの剛性履帶式車両について、種々の履板形状に対する履帯下のスリップ量分布と接地圧分布の特性を明らかにすることを目的とし、履板載荷・牽引実験に基づいて解析を行った。

2. 地盤と履板との相互作用 軟弱地盤は実験土槽（ $250 \times 10 \times 45\text{cm}$ ）を使用し、海水中でカオリソ粘土を10日間自重圧密して作成した。地表面における含水比は101%で、非排水強度 $C_u(\text{kPa})$ は深さ $Z(\text{cm})$ において $C_u = 0.021 \cdot Z$ である。履板は①標準型②直角三角形型③正三角形型④トラクション型⑤逆トラクション型の5種類であり、いずれもグラウザ高さ4.5cm、ピッチ10cmで図1に示す長さ40cm、幅9cmの剛性履帶モデルについて載荷・牽引実験を行った。得られた土質定数¹⁾を表1に示す。

3. 履帶式車両のスリップ量 車両諸元は、重量 68.6kN、履帶接地長800cm、履帶幅150cm、平均接地圧 $p_m = 2.86\text{kPa}$ 、車両重心の偏心率0、前・後輪半径 $R_f = R_r = 60\text{cm}$ 、重心高さ100cm、牽引力作用点の車両中心線からの距離400cmと高さ100cmである。前輪接地部でのスリップ量 $j_r(\theta)$ は

$$j_r(\theta) = R_f [(\theta_r - \theta) - (1 - i_d) \{\sin(\theta_r + \theta_t) - \sin(\theta + \theta_t)\}] \quad (1)$$

で与えられる。ここに、 θ_r は前輪接地角、 θ_t はトリム角、 $0 \leq \theta \leq \theta_r$ 、 i_d はスリップ率である。前輪最下点Bにおけるスリップ量を $j_B = j_r(0)$ とすると、履帶主要接地部でのスリップ量はB点からの距離Xに対して $j_B + i_d' \cdot X$ となる。 $i_d' = 1 - (1 - i_d) \cdot \cos \theta_t$ である。後輪接地部でのスリップ量 $j_r(\delta)$ は、

$$j_r(\delta) = R_r \{(\theta_t - \delta) - (1 - i_d) (\sin \theta_t - \sin \delta)\} + i_d D + j_B \quad (2)$$

で与えられる。ここに、 $0 \leq \delta \leq \theta_t$ である。

図2は、履帶①に対するスリップ量の分布を各 i_d に対して算定したものである。他の履帶②～⑤に対しても同様に、スリップ量は正の値で後輪の方向に増大している。

4. 接地圧分布 前輪接地部での垂直応力 $\sigma_r(\theta)$ 、せん断応力 $\tau_r(\theta)$ は、

$$\sigma_r(\theta) = (1/b_0)^{1/b_1} [R_r \{\cos(\theta + \theta_t) - \cos(\theta_r + \theta_t)\} / \cos(\theta + \theta_t)]^{1/b_1} \quad (3)$$

$$\tau_r(\theta) = \{m_0 + m_r \sigma_r(\theta)\} [1 - \exp\{-a j_r(\theta)\}] \quad (4)$$

で与えられ、履帶主要接地部での垂直応力 σ_m 、せん断応力 τ_m は、

$$\sigma_m = p_r + 12 p_m e_s X / D \quad (5)$$

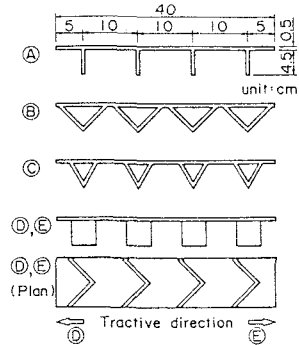


図1 各種履帶モデル

表1 土質定数

履帶	(A)	(B)	(C)	(D)	(E)
b_0	6.93	8.03	8.00	6.65	6.65
b_1	1.220	0.605	0.593	2.070	2.070
$m_0(\text{kPa} \cdot 10^{-2})$	8.72	9.59	16.57	20.76	21.01
m_r	0.211	0.643	0.615	0.491	0.618
$a(1/\text{cm})$	0.720	1.769	1.623	1.687	1.865
c_0	0.311	0.838	1.007	1.133	1.046
c_1	0.708	0.672	0.128	1.530	0.953
c_2	0.747	0.828	0.563	0.595	0.753

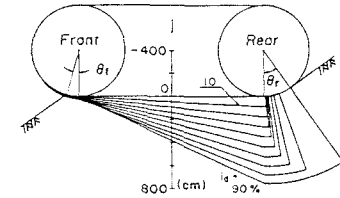


図2 スリップ量 j の分布
(履帶①)

$$\tau_m = (m_0 + \sigma_m m_r) [1 - \exp\{-a(j_B + i_d' X)\}] \quad (6)$$

となる。 p_f は前輪接地圧、 e_s は地盤反力の偏心率である。さらに、後輪接地部での垂直応力 $\sigma_r(\delta)$ 、せん断応力 $\tau_r(\delta)$ は、

$$\begin{aligned} \sigma_r(\delta) &= (1/b_0)^{1/b_1} [(R_f \{\cos \theta_t - \cos(\theta_r + \theta_t)\} + D \sin \theta_t \\ &\quad + R_f (\cos \delta - \cos \theta_t)) / \cos \delta]^{1/b_1} \end{aligned} \quad (7)$$

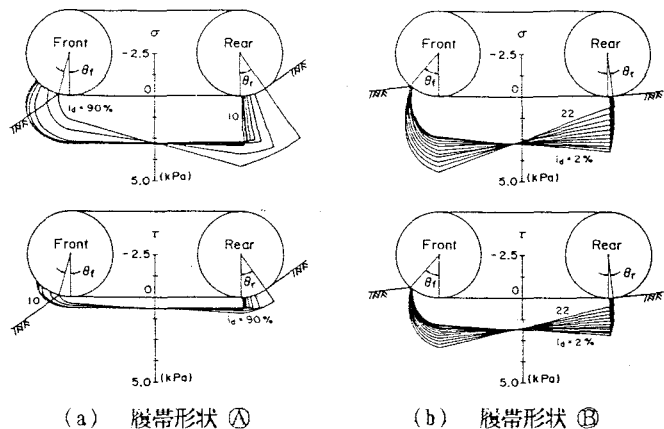
$$\tau_r(\delta) = \{m_0 + m_r \sigma_r(\delta)\} [1 - \exp\{-a j_r(\delta)\}] \quad (8)$$

で与えられる。有効牽引力、沈下量のスリップ率による変化についてエネルギー解析²⁾を行った結果、図3は履帯形状Ⓐ～Ⓔの履帯接地部に作用する σ 、 τ 分布を各 i_d に対して示したものである。 σ 、 τ の値はいずれの場合も正の値で分布している。 i_d の増加とともに履帯Ⓐ①⑤では σ 、 τ 共後輪方向に傾斜して増加するのに対し、履帯Ⓑ③では前輪方向に傾斜している。

5. 結論 駆動走行している剛性履帯式車両では、スリップ量、垂直応力およびせん断応力共に正值を示しており、スリップ率の増加とともに標準型、トラクション型、逆トラクション型履帯では後輪方向に接地圧は増大するのに対し直角三角形型、正三角形型履帯では前輪の方向に増大すること、また、せん断応力の総和で与えられる車両の推進力は正三角形、直角三角形型履帯において十分に発揮されることが判明した。

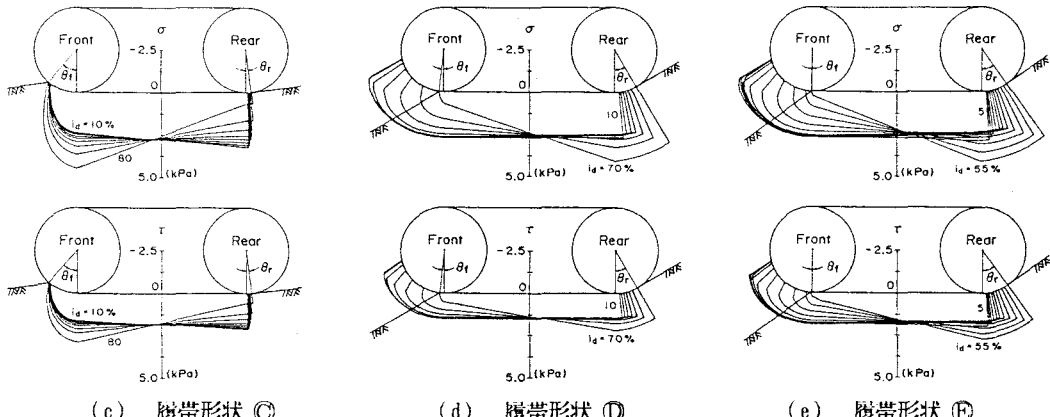
<<参考文献>> 1) MURO, T : GROUSER EFFECT ON TRACTIVE PERFORMANCE OF A SUPERWEAK MARINE SEDIMENT, Proc. of the 2nd Asia-Pacific Conf. of the ISTVS, pp.355-366, 1988.

2) 室達朗、尾本清、柳楽篤司：湿地用ブルドーザの走行性能——エネルギー解析——、土木学会論文集、第403号/VI-10, 1989.



(a) 履帯形状Ⓐ

(b) 履帯形状Ⓑ



(c) 履帯形状Ⓒ

(d) 履帯形状Ⓓ

(e) 履帯形状Ⓔ

図3 垂直応力 σ 、せん断応力 τ の分布